

Академик АН УССР И. Н. ФРАНЦЕВИЧ, Е. А. ЖУРАКОВСКИЙ,
Н. Н. ВАСИЛЕНКО

РЕНТГЕНОВСКАЯ ЭМИССИОННАЯ K_{α} -ПОЛОСА АЗОТА
В НИТРИДЕ ЦИРКОНИЯ ПРЕДЕЛЬНОГО СОСТАВА
И В ОБЛАСТИ ГОМОГЕННОСТИ (ZrN_x)

В работе ⁽¹⁾ исследовались ультрамягкие K_{α} -эмиссионные полосы азота в основных нитридах переходных металлов IV—V групп и было показано, что их форма и строение, проявляя большое сходство в пределах одной группы, обнаруживают различие и четкую зависимость от концентрации валентных электронов при переходе от группы к группе. Эта зависимость проявляется в изменении относительной интенсивности коротковолнового наплыва $K_{\alpha}^{I'}$ (см. рис. 1), которая возрастает при увеличении количества d -электронов нитридообразующего металла (т. е. с ростом номера группы). Ранее тот же эффект был обнаружен в K_{α} -полосах углерода в изоморфных карбидах IV—V групп ⁽²⁾, имеющих ту же форму и тот же характер ее изменения, и было показано, что указанная подполоса спектра появляется, когда концентрация валентных электронов на «квазимолекуле» MeX ($X = C, N, O$) превышает некоторое условное число 8, если допустить, что в химической связи принимают участие только внешние nd - и $(n+1)s$ -электроны металла и внешние $2p$ - и $2s$ -электроны азота (углерода).

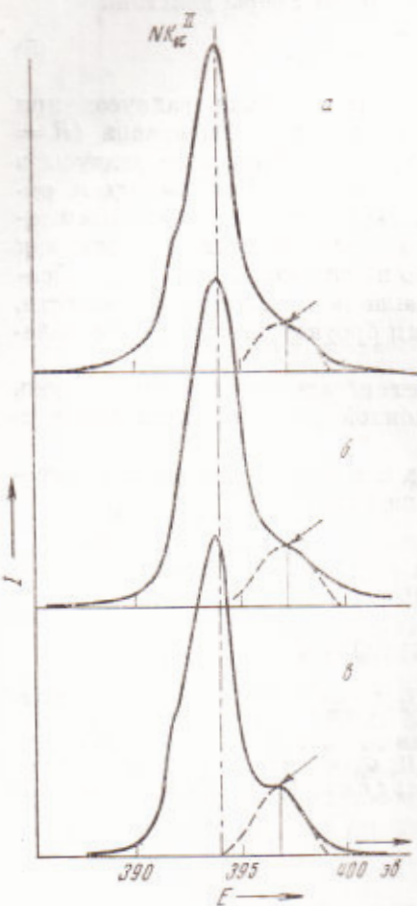


Рис. 1. Рентгеновская эмиссионная K_{α} -полоса азота в нитриде циркония предельного состава (a) и в области гомогенности (b, c). a — $ZrN_{1.0}$, b — $ZrN_{0.77}$, c — $ZrN_{0.65}$; стрелкой показано место наплыва $NK_{\alpha}^{I'}$.

В работе ⁽³⁾ было исследовано поведение упомянутого наплыва CK_{α} в гомогенных карбидах VC_x (концентрация валентных электронов ≤ 9). Удалось обнаружить, что интенсивность этого наплыва растет с убыванием концентрации углерода (и, следовательно, с ростом относительной концентрации металла!) по мере приближения к нижней границе области гомогенности.

Точно так же ведут себя с ростом относительной концентрации металла (за счет увеличения числа вакансий неметаллических атомов) K_{β_2} -полоса ванадия в VC_{1-x} ⁽³⁾, в которой коротковолновая субструктура возрастает по интенсивности по мере приближения к нижней границе области гомогенности. Это дает повод считать, что влияние концентрации валентных электронов (к.в.э.) на полосовую структуру энергетического

спектра электронов изоэлектронных кубических карбидов и нитридов не зависит от сортности атомов и в формировании внешней коллективизированной полосы принимают участие электроны металла и неметалла.

Представляет интерес проверить эти закономерности на другом тугоплавком соединении переменного состава с той же структурой (типа NaCl) и одинаковой концентрацией валентных электронов (< 9). Наиболее подходящим объектом для такой проверки мог бы служить мононитрид титана TiN_{1-x} . Однако наложение на коротковолновую часть NK_{α} -полосы L_{α} -линии титана существенно искажает структуру полосы, не позволяя произвести оценку относительных интенсивностей основной NK_{α}^{II} -полосы и коротковолнового наплыва NK_{α}^I . Поэтому эксперимент был выполнен на NK_{α} -линии азота в мононитриде циркония, который обладает одинаковым электронным строением (к.в.э. ≈ 9) и той же кубической структурой NaCl. Было приготовлено три препарата нитрида циркония, составы которых перекрывают всю область гомогенности ZrN_x (40—50 ат. % N (%)).⁴ Методика изготовления изложена в (%). Проверка образцов рентгеноструктурным методом до и после спектроскопирования позволила убедиться в их однофазности и отсутствии изменений состава на аноде рентгеновской трубки при съемке.

Съемка NK_{α} -полосы в ZrN_x производилась на ультрамягком рентгеновском спектрометре РСМ-500 с использованием в качестве анализатора штриховой вогнутой дифракционной решетки радиусом 6 м с количеством штрихов 600 на 1 мм и слоем золота на поверхности. Для фильтрации излучений высших порядков служило стеклянное отражающее зеркало радиусом 2 метра с покрытием из полистирола. Режим съемки: 4 кв, 50 ма; регистрация автоматическая, при помощи проточного пропорционального счетчика на метилале. В качестве разделительного входного окна на счетчике использовались тонкие пленки из амилацетата целлюлозы. Вакуум в трубке $1 \cdot 10^{-6}$ мм рт. ст.

Статистика накапливалась путем многократных повторных записей NK_{α} -полосы в прямом и обратном направлениях сканирования. Полученные кривые представлены на рис. 1 в единой шкале интенсивностей и энергий.

Анализ формы NK_{α} -полосы нитрида циркония в области гомогенности указывает на последовательное изменение интенсивности коротковолнового наплыва K_{α}^I с ростом количества вакансий азота в решетке. При этом происходит и возрастание относительного количества металлических атомов, приходящихся на 1 атом азота. Если у состава $ZrN_{1.0}$ (пределный состав) наплыв проявляется слабо (рис. 1a), то у следующего за ним нитрида циркония с некоторым недостатком азота $ZrN_{0.77}$ он усиливается (рис. 1b), а у нижней границы области гомогенности, которой соответствует нитрид циркония состава $ZrN_{0.68}$ наплыв (рис. 1c) становится настолько четким, что его можно, без графического вычитания из склона NK_{α}^{II} , выделить как самостоятельную линию. Энергетическое положение коротковолнового наплыва NK_{α}^I у нитрида циркония предельного состава и в области гомогенности остается в пределах точности определения энергии фотонов (0,15 эВ) неизменным. В том же приближении неизменно и положение основной NK_{α}^{II} -полосы. Как упоминалось, аналогичная спектральная картина наблюдалась у гомогенного VC_{1-x} (для VK_{β} и для CK_{α} (%)), а также для K_{β} -полосы Ti в TiN_x (%). По аналогии с выводами этих работ можно заключить, что присутствие и изменение интенсивности коротковолнового наплыва в NK_{α} для ZrN_x связано с образованием полосы полностью или частично коллективизированных электронов смешанной $(4d_z(Zr) + 2p_n(N))$ -симметрии, которое становится возможным при наличии у атомов металла и азота большего числа электронов, чем это необходимо для образования устойчивого октета электронов (в связях с азотом).

* Изготовление образцов нитрида циркония и полную их идентификацию любезно выполнила М. Д. Любая, которой авторы выражают свою благодарность.

Отмеченный рост интенсивности NK_{α} -полосы с уменьшением содержания азота в ZrN_x может быть связан со следующим. Поскольку повышение плотности $2p_nN$ -электронов в полосе коллективизированных ($4d_eZr + 2p_nN$)-состояний не происходит, что является из постоянства параметров решетки и расстояния $Zr - N$ при уменьшении содержания азота (7), то должно иметь место перераспределение электронной плотности, сопровождающееся изменением характера связи от преимущественно ковалентной с превалированием связей $Zr - N$ или $4d_e(Zr) - 2p_o(N)$, к преимущественно металлической с превалированием связей $(4d_e(Zr) - 2p_o(N)) - 4d_e(Zr)$. С убыванием содержания азота постепенно падает вклад d -электронов в связи $Me - N$ и возрастает их участие в связи $Me - Me$.

Поскольку силы сцепления в металлоподобных тугоплавких нитридах обеспечиваются в основном связями $Me - N$, то данная модель хорошо объясняет убывание прочностных свойств нитрида циркония с ростом числа вакансий азота (4). Электрофизические и магнитные свойства ZrN_x (4, 12) также удовлетворительно объясняются этой моделью.

Полученные спектральные данные нельзя согласовать с гипотезой о металлизации связи в нитридах, основанной на допущении «безвозвратной» передачи электрона азота в nd -полосу атома переходного металла и частичного «заполнения» этой полосы, равно как и с гипотезой о превалирующем гомеополярном взаимодействии. То, что внешняя полоса азота обнаруживает зависимость от концентрации атомов металла, и, напротив, что «внешние» K - и L -полосы металла концентрационно зависят от содержания азота (6, 8), указывает на сильное взаимное перекрытие и смешивание внешних функций обоих взаимодействующих атомов и на то, что электроны наружной полосы принадлежат всему сплаву. Прочностные и электрические свойства нитридов и карбидов можно объяснить только наличием равноправных или почти равноправных металлических и ковалентных взаимодействий. Об этом свидетельствует и появление в спектре обоих атомов в ZrN (8) качественно разных полос: полосы ковалентно-связанных электронов nd_{sp}^2 -симметрии (NK_{α}^{II} и ZrL_{β}^{II} (8)) и полосы коллективизированных электронов nd_{sp}^2 -симметрии (NK_{α}^{I} и $ZrL_{\beta_1}^{I}$ (8)).

Наблюдаемые закономерности изменения химической связи и полосовой структуры в пределах области гомогенности ZrN_x , а также TiN_x (6), VC_x (3), которые носят общий характер, побуждают пересмотреть представления о «жесткой» полосе, вытекающие из теоретических расчетов (8, 10) структуры некоторых тугоплавких карбидов. Эти представления получили распространение (11) при обсуждении физической природы тугоплавких соединений, так как они находят косвенное подтверждение в результатах исследования тех свойств, которые дают информацию о плотности состояний электронов у границы Ферми (магнитная восприимчивость (12), электронная теплоемкость (11), температура перехода в сверхпроводящее состояние (13)).

Полученные нами результаты, а также комплекс работ по изучению концентрационно-температурных зависимостей магнитной восприимчивости, электросопротивления, эффекта Холла и термо-э.д.с., выполненный по нестехиометрическим карбидам и нитридам (14), позволяет считать, что модель «жесткой» полосы применима весьма ограниченно и то только к некоторым тугоплавким соединениям предельного состава или к так называемым «комплектным» монокарбидам и мононитридам со структурой $NaCl$. Она, по-видимому, совершенно неприменима к «непредельным» фазам переменного состава в широких областях гомогенности, причем тем более, чем сильнее этот состав отклоняется от стехиометрического и чем больше концентрация валентных электронов на формульную единицу превышает критическую (~ 8).

Институт проблем материаловедения
Академии наук УССР
Киев

Поступило
15 I 1971

ЦИТИРОВАННАЯ ЛИТЕРАТУРА

- ¹ Е. А. Жураковский, Н. Н. Василенко, ДАН, 187, № 3, 562 (1969).
² Е. А. Жураковский, Н. Н. Василенко, Тугоплавкие карбиды, Киев, 1970, стр. 106. ³ Е. А. Жураковский, В. П. Даегановский и др., ДАН, 194, № 2 (1970). ⁴ Г. В. Самсонов, Т. С. Верхоглядова, Докл. АН УССР, № 1, 48 (1962). ⁵ М. Д. Лютая, О. П. Кулик, Неорганические матер., 5, 885 (1969).
⁶ Е. А. Жураковский, М. Д. Лютая, Л. В. Никитин, Неорганические матер., в печати. ⁷ И. И. Тимофеева, Автореф. кандидатской диссертации, Киев, 1970.
⁸ М. И. Корсунский, Я. Е. Генкин и др., Сборн. Некоторые вопросы общей и прикладной физики, Алма-Ата, 1966. ⁹ H. Billz, Zs. Phys., 153, 338 (1958). ¹⁰ R. G. Lye, E. Logothetis, Phys. Rev., 147, 622 (1966). ¹¹ С. А. Неминов, К. М. Колобова, Физ. мет. и металловед., 22, 5, 680 (1966). ¹² H. Bittner, H. Goetzki, Monatsch. Chem., 100, 93 (1962); 91, 616 (1960). ¹³ О. И. Шулишова, Сборн. Химия и физика нитридов, Киев, 1968. ¹⁴ А. С. Борухович, Автореф. кандидатской диссертации, Свердловск, 1970.